

مکانیسم تحمل به تنش خشکی و بیان ژن‌های دخیل در تنظیم اسمزی در برخی گونه‌های زراعی و وحشی گندم

Drought stress tolerance mechanism and expression of genes involved in osmotic regulation in some wheat and wild crop species

معصومه کیخا^۱، نفیسه مهدی‌نژاد^{۲*}، براتعلی فاخری^۳، رحمت محمدی^۴

۱- دانش‌آموخته کارشناسی ارشد، گروه اصلاح نباتات و بیوتکنولوژی، دانشکده کشاورزی، دانشگاه زابل، ایران

۲- استادیار، گروه اصلاح نباتات و بیوتکنولوژی، دانشکده کشاورزی، دانشگاه زابل، ایران

۳- استاد، گروه اصلاح نباتات و بیوتکنولوژی، دانشکده کشاورزی، دانشگاه زابل، ایران

۴- استادیار، موسسه تحقیقات کشاورزی دیم کشور، مراغه، ایران

Keikha M¹, Mahdi Nezhad N^{*2}, Fakheri B³, Mohamadi R⁴

1- MSc Student, Department of Plant Breeding and Biotechnology, Collage of Agriculture, University of Zabol, Zabol, Iran

2- Assistant Professor, Department of Plant Breeding and Biotechnology, Collage of Agriculture, University of Zabol, Iran

3- Professor, Department of Plant Breeding and Biotechnology, Collage of Agriculture, University of Zabol, Iran

4- Dryland Agricultural Research Institute, Agricultural Research, Education and Extension Organization (AREEO), Maragheh, Iran

* نویسنده مسئول مکاتبات، پست الکترونیکی: nmahdinezhad@uoz.ac.ir

(تاریخ دریافت: ۹۶/۱۱/۲۳ - تاریخ پذیرش: ۹۸/۰۳/۲۶)

چکیده

در این تحقیق به منظور بررسی برخی از صفات فیزیولوژیکی مرتبط با تحمل به خشکی و همچنین بیان ژن‌های دخیل در تنظیم اسمزی آزمایشی به صورت فاکتوریل بر پایه طرح کاملاً تصادفی در سه تکرار در دو شرایط تنش و بدون تنش خشکی بر روی سه گونه دیپلوئید، دو رقم تتراپلوئید و دو رقم هگزاپلوئید گندم اجرا شد. صفات فیزیولوژیکی مورد ارزیابی شامل پرولین، گلايسين بتائين، کربوهیدرات محلول در ساقه، پروتئین کل، RWC (میزان رطوبت نسبی) بود. همچنین الگوی بیان نسبی دو ژن پرولین (*P5CS*) و گلايسين بتائين (*BADH*) به روش Real Time PCR سنجیده شد. تنش خشکی باعث افزایش صفات پروتئین کل، کربوهیدرات محلول در ساقه، پرولین، گلايسين بتائين و کاهش معنی‌دار محتوای آب نسبی شد، همچنین تنش خشکی سبب القاء بیان ژن *P5CS* و *BADH* در همه‌ی ارقام شد. بنابراین می‌توان از صفات تنظیم اسمزی و میزان بیان دو ژن *P5CS* و *BADH* تحت شرایط تنش به‌عنوان یک شاخص در برنامه‌های اصلاحی جهت انتخاب ارقام متحمل به خشکی استفاده شود.

واژه‌های کلیدی

بیان ژن

پرولین

گلايسين بتائين

Real Time PCR

مقدمه

گونه‌های وحشی و اهلی گندم از لحاظ تعداد کروموزوم به سه سطح پلوئیدی شامل دیپلوئید، تتراپلوئید و هگزاپلوئید تقسیم می‌شوند. مجموعه گندم‌های دیپلوئید با تعداد کروموزوم $(2n=2x=14)$ از سه گونه *T. urarta*، *T. boeoticum* و *T. monococcum* تشکیل شده‌است. گروه گندم‌های تتراپلوئید با تعداد کروموزوم $(2n=4x=28)$ از ۱۰ گونه تشکیل شده‌است که حاوی ژنوم‌های AB و AD بوده و نسبت به گونه‌های دیپلوئید در گستره‌ی محیطی وسیع‌تری رشد می‌نمایند. از جمله این گروه می‌توان به گندم امر وحشی *T. dicoccum* و گندم دوروم اشاره کرد که همگی دارای فرمول ژنومی AABB هستند. گندم هگزاپلوئید دارای گونه‌های بسیار زیادی شامل *T. aestivum*، *T. Petropa vlovskyi*، *spelta* می‌باشد. گندم نان با تعداد کروموزوم $(2n=6x=42)$ دارای ژنوم ABD می‌باشد که هر یک از ژنوم A، B و D آن از گونه‌های مختلفی گرفته شده‌است (Sishen et al. 2007).

یکی از نزدیک‌ترین خویشاوندان وحشی گندم آزیلوپس‌ها هستند. آزیلوپس‌ها نه تنها خویشاوند بلکه اجداد اولیه گندم نان بوده و گندم زراعی بسیاری از صفات مطلوب خود را از قبیل کیفیت نانوائی، تحمل به شوری و تحمل به برخی از آفات و بیماری‌ها را از آن به ارث برده است (Greenway and Munns 1980). گونه *Aegilops tauschii* نقش مهمی در تکامل ارقام گندم ایفا می‌کند. ژنوم DD گندم نان مربوط به این جنس می‌باشد (Lee et al. 1999). گرچه منشأ ژنوم B هنوز دقیقاً مشخص نیست ولی همه گونه‌های *Sitopsis* مخصوصاً گونه *Ae. Speltoides* $(2n=2x=14=SS)$ یک کاندیدای محتمل برای این ژنوم پیشنهاد شده‌است و احتمالاً آزیلوپس اسپلتوئیدس با ژنوم S از اجداد وحشی ژنوم B می‌باشد (Ortega et al. 2013; Guzmán and Alvarez 2012). خشکی یکی از مهم‌ترین تنش‌های محیطی محدودکننده تولید محصولات گیاهی در سراسر جهان محسوب شده و اثرات نامطلوبی بر رشد و نمو گیاه و سایر فرآیندهای متابولیکی دارد (Akram et al. 2013; Lum et al. 2014). به‌طور میانگین بیش از ۵۰ درصد عملکرد بسیاری از محصولات گیاهی در اثر تنش خشکی کاهش می‌یابد (Zlatev and Lidon 2012).

تنش خشکی موجب می‌شود که تعادل بین تولید گونه‌های اکسیژن فعال (ROS) و دفاع ضد اکسنده در بخش‌های مختلف گیاه از بین برود (Bai and Sui 2006). گیاهان عموماً سازوکارهای مختلفی برای مقابله با تنش خشکی دارند و از طریق القای انواعی از پاسخ‌های فیزیولوژیکی، بیوشیمیایی و مورفولوژیکی به تنش خشکی سازگار می‌شوند (Mirzaee et al. 2013). تنظیم اسمزی به‌عنوان یکی از سازوکارهای سازگاری گیاه در برابر تنش خشکی در نظر گرفته شده‌است که از طریق تجمع مواد محلول مانند پروتئین، قندهای محلول و اسیدهای آمینه در اندام‌های هوایی و ریشه می‌تواند منجر به حفظ تورژسانس سلول‌ها و فرآیندهای وابسته به آن در پتانسیل پایین آب شود (Showler and Castro 2010; Rampino et al. 2006). تنش خشکی سطوح پروتئینی گیاهان را تحت تأثیر قرار داده و نتایج متفاوتی را به‌همراه داشته است به‌طوری که برخی کاهش و گروهی افزایش در سطوح پروتئینی را تحت تنش آبی گزارش کرده‌اند (Svensson et al. 2002; Mrian et al. 2003). کاهش پروتئین‌های محلول برگ به‌عنوان یکی از عوامل غیر روزنه‌ای محدودکننده فتوسنتز گیاه محسوب می‌شود که در این صورت تنش بر گیاه اثرگذار بوده و موجب ایجاد خسارت شده‌است (Huang et al. 2012). اما افزایش غلظت پروتئین‌های برگ ممکن است نشان‌دهنده فعال شدن مکانیسم‌های تحمل باشد (Kim et al. 2005). پرولین به‌عنوان منبع نیتروژن و کربن برای گیاهان تحت تنش شدید خشکی عمل می‌کند و تحمل گیاه در برابر تنش را افزایش می‌دهد (Amini et al. 2015). افزایش محتوای پرولین در شرایط تنش باعث محافظت غشای سلولی، پروتئین‌ها، آنزیم‌های سیتوپلاسمی و مهار گونه‌های فعال اکسیژن و حذف رادیکال‌های آزاد می‌شود (Liang et al. 2013; Ghorbanli et al. 2013). تجمع افزایشی پرولین در سلول به‌دلیل فعالیت آنزیم‌های دلتا-۱-پرولین-۵ کربوکسیلات سنتتاز (P5CS) و پرولین-۵-کربوکسیلات ردوکتاز (P5CR) در چرخه تولید این ماده و نیز ممانعت از فعالیت آنزیم‌های اکسیدکننده پرولین مانند پرولین دهیدروژناز (ProDH) و پرولین-۵-کربوکسیلات دهیدروژناز (P5CDH) در سلول است. در شرایط غیر تنش، پرولین از مسیر اورنتین در گیاه تولید می‌شود (Delauney et al.

کربوهیدرات‌های محلول یکی از مهم‌ترین اسمولیت‌های سازگار فیزیولوژیکی می‌باشند که در واکنش به تنش‌های غیر زنده شرکت می‌کند (Ashraf and Heris 2004). این متابولیت‌ها هم به‌عنوان یک ترکیب اسمزی و هم به‌عنوان یک حفاظت‌کننده اسمزی عمل می‌کنند (Sanchez et al. 2004). در رابطه با صفت کربوهیدرات برخی گزارش‌ها نشان دادند که در شرایط تنش اسمزی مجموع پلی‌ساکارید و کربوهیدرات‌های محلول در اندام‌های رویشی گندم کاهش می‌یابد (Kafi et al. 2003) و درحالی که تحقیقات دیگری بر افزایش میزان کربوهیدرات‌های محلول در مرحله رویشی تاکید شده‌است (Xue et al. 2008). Blum (1998) گزارش کردند که در غلات قسمتی از مواد فتوسنتزی به‌طور موقت در ساقه‌ها ذخیره می‌شوند تا بتوانند به‌صورت کارایی در انتقال مجدد مورد استفاده قرار بگیرند، این مواد به‌صورت ساکارز وارد ساقه‌ها می‌شوند و به فرم ساکارز، گلوکز، فروکتوز و فروکتان (عمدتاً به فرم ساکارز و فروکتان) در ساقه‌ها ذخیره می‌شوند.

در شرایط تنش خشکی با کاهش مقدار آب قابل دسترس (RWC)، فتوسنتز کاهش یافته و متعاقب آن تولید ماده خشک گیاه نیز کاهش می‌یابد (Yang et al. 2007). RWC که جذب آب به‌وسیله بافت‌ها و سلول‌ها را نشان می‌دهد، به‌عنوان یک شاخص مفید در گزینش برای تحمل به خشکی ارزیابی شده‌است (Silva et al. 2007). همچنین کنترل فعالیت‌های فیزیولوژیکی به محتوای آب گیاه وابسته بوده و تغییرات RWC به‌طور مستقیم روی دستگاه فتوسنتزی تاثیر می‌گذارد (Graca et al. 2010). در تحقیقی مشاهده شد که افزایش تنش خشکی مقدار آب نسبی گیاه گندم را کاهش داده و به‌طور معمول ارقام متحمل به خشکی، محتوای آب نسبی بیشتری را نسبت به ارقام حساس در شرایط خشکی نشان دادند (Siddique et al. 2000). هدف از این تحقیق، بررسی مقایسه‌ای اثر تنش خشکی بر برخی صفات فیزیولوژیکی و بیان ژن‌های پرولین (delta 1-pyrroline-5-carboxylate synthetase) و گلاسیسین‌بتائین (Betaine aldehyde dehydrogenase) در برگ گونه‌های مختلف گندم با استفاده از تکنیک Real time PCR می‌باشد.

ولی در گیاهان تحت شرایط خشکی و شوری، پرولین از L- گلوتامیک اسید توسط آنزیم دلتا- 1- پرولین 5- کربوکسیلات سنتتاز (P5CS) به L- پرولین تبدیل شود (Orcut and Nilsen. 2000). به عبارتی آنزیم کلیدی در مسیر بیوسنتز پرولین در گیاهان P5CS است (Orcut and Nilsen 2000). شکستن سریع پرولین بعد از پایان یافتن شرایط تنش، ممکن است خود تأمین‌کننده عوامل مورد نیاز فسفوریلاسیون اکسیداتیو میتوکندریایی و تولید ATP برای ترمیم صدمات ناشی از تنش باشد (Bates et al. 1973). (Drossopoulos et al. 1985). بررسی ارقام مختلف گندم در تنش رطوبتی، گزارش کردند که غلظت اسیدهای آمینه گلوتامیک اسید، آسپاراتیک اسید، سرین، گلوتامین، آلانین، لوسین، آلانین، آسپارژین، آلفا آمینوبوتریک اسید و پرولین به‌طور معنی‌داری در برگ و خوشه ارقام مختلف گندم افزایش می‌یابد. بررسی محتوای پرولین به‌عنوان یک ترکیب اسمولیت سازگار در شرایط کمبود در ژنوتیپ‌های مختلف گندم دوروم نشان داده است که ژنوتیپ‌های مختلف نسبت به کمبود آب دارای آستانه تحمل متفاوتی هستند و محتوای پرولین رابطه نزدیکی با آستانه تنش آب خاک و انباشت ترکیبات ضد تنش خشکی در گندم دارد (Navabpour et al. 2015). مطالعه متابولیسم پرولین در گندم به کمک ایجاد تنش‌های اسمزی نشان داده است که محتوای پرولین از طریق فراتنظیمی مراحل بیوسنتز آن افزایش می‌یابد (Lei et al. 2007). در ارتباط با صفت گلاسیسین‌بتائین به‌طور عمده در کلروپلاست‌ها جای دارد و نقش‌های حیاتی در ایجاد سازگاری در کلروپلاست، حمایت از غشاهای تیلاکوئیدی و در نتیجه حفظ کارایی فتوسنتز و یکپارچگی غشاء پلاسمایی ایفا می‌کند (Yokoi et al. 2002). تحقیقات نشان داده است که احتمالاً نقش حمایتی گلاسیسین‌بتائین فقط به عملکرد اسمزی آن مربوط نیست بلکه گلاسیسین‌بتائین از طریق ثبات بخشیدن به پروتئین‌های خارجی فتوسیستم II، آن را محافظت کرده (Murata et al. 1992) و همچنین به‌عنوان یک جاروب‌کننده ROS نیز عمل می‌کند (Hussain et al. 2008). همچنین افزایش گلاسیسین‌بتائین در پاسخ به استرس در بسیاری از گیاهان نظیر اسفناج، جو، گوجه فرنگی، سیب‌زمینی، برنج، هویج، سورگوم گزارش شده‌است (Yang and Lu 2005).

مواد و روش‌ها

این تحقیق به منظور بررسی تأثیر سطوح مختلف تنش خشکی بر برخی از صفات بیوشیمیایی و فیزیولوژیکی مرتبط با تحمل به خشکی و همچنین بیان ژن‌های دخیل در تنظیم اسمز آزمایشی در گونه‌های مختلف گندم در سال ۱۳۹۶-۱۳۹۵ در گلخانه تحقیقاتی دانشکده کشاورزی دانشگاه زابل اجرا شد، پژوهش به صورت آزمایش فاکتوریل در قالب طرح کاملاً تصادفی با سه تکرار انجام گرفت. گونه‌های گندم به عنوان فاکتور اول و تنش خشکی به عنوان فاکتور دوم در چهار شرایط آبی شامل تیمار آبیاری ۹۰ درصد ظرفیت زراعی (شاهد)، تیمار آبیاری ۷۰ درصد ظرفیت آبیاری (تنش ملایم)، تیمار آبیاری ۵۰ درصد ظرفیت زراعی (تنش متوسط) و تیمار آبیاری ۳۰ درصد ظرفیت زراعی (تنش شدید) بود. بذرهاى سه ژنوتیپ دیپلوئید (تائوشی، اسپلتوئیدز و اورارتو) از مرکز پژوهشی دانشگاه زابل و دو رقم تتراپلوئید (شبرنگ و بهرننگ) و دو رقم هگزاپلوئید (سیستان و ارگ) از مرکز تحقیقات کشاورزی سیستان تهیه شدند. کشت بذرها در گلدان‌های یک کیلویی حاوی مخلوطی متشکل از کوکوپیت و پرلیت (۱:۱) در عمق یک سانتی‌متری انجام شد. گلدان‌ها در شرایط یکسان حداقل دما ۹ و حداکثر دما ۳۵ درجه سلسیوس قرار گرفتند. آبیاری گلدان‌ها به صورت عادی و به میزان مساوی هر دو الی سه روز یک‌بار تا رسیدن گیاه به مرحله چهار برگی انجام شد سپس در حالی که آبیاری برای گیاهان شاهد به صورت عادی انجام می‌شد تنش از مرحله چهار تا شش برگی برای گیاهان مورد تنش به روش وزنی انجام گرفت. حدود سه هفته پس از شروع تیمارهای تنش (زمانی که ۵۰ درصد بوته‌ها به مرحله شش برگی رسیده بودند) جهت انجام بررسی‌های فیزیولوژیکی و مولکولی گلدان‌ها به پژوهشکده بیوتکنولوژی و مهندسی ژنتیک دانشگاه زابل منتقل شدند. در نهایت چند برگ بالایی جدا و در فریز منفی ۸۰- درجه سانتی‌گراد نگهداری شدند میزان قندهای محلول به روش (Sheligi 1986) اندازه‌گیری شد. در این روش ۰/۲ گرم از بافت سبز برگ به همراه ۱۰ سی‌سی آب مقطر درصد در لوله آزمایش در بسته قرار داده و به مدت ۱۵ دقیقه در حمام بن ماری و در دمای ۸۰ درجه سانتی‌گراد حرارت داده شدند. پس از سرد شدن ۱ سی‌سی از این نمونه‌ها برداشته

شد و به آن ۱ سی‌سی فنل ۵ درصد و ۵ سی‌سی اسید سولفوریک ۹۸ درصد اضافه شد. در نهایت پس از کالیبره کردن با استفاده از دستگاه اسپکتروفتومتر، ۱۶۰-UV میزان جذب نور در طول موج ۴۸۳ نانومتر قرائت شد. میزان کربوهیدرات استخراجی براساس میکروگرم گلوکز در گرم وزن تر از جدول استاندارد استخراج شد.

به منظور اندازه‌گیری آب نسبی برگ (RWC)^۱ در مرحله گلدهی و قبل از زمان آبیاری نمونه‌برداری از برگ‌های پرچم انجام شد. از هر گلدان یک برگ برداشت و وزن تر آن‌ها با ترازوی دقیق دیجیتالی تعیین گردید. این نمونه‌ها به مدت ۸ ساعت در آب مقطر و شدت نور کم قرار داده شدند، سپس وزن نمونه‌های برگی در حالت تورژسانس تعیین شد. نهایتاً نمونه‌ها به مدت ۴۸ ساعت و در دمای ۷۰ درجه سانتی‌گراد در آون خشک شدند و وزن خشک آن‌ها تعیین شد، سپس با استفاده از فرمول زیر میزان آب نسبی برگ برحسب درصد محاسبه شد. برای اندازه‌گیری محتوی نسبی آب برگ از معادله زیر استفاده شد (Ritchie and Nguyen 1990):

$$RWC = (FW - DW) / (TW - DW)$$

که در آن RWC محتوای رطوبت نسبی برگ، FW وزن تر بافت، DW وزن خشک بافت و TW وزن بافت در شرایطی که به طور کامل آب جذب کرده باشد، هستند.

غلظت پرولین در برگ پرچم هر نمونه به روش Bates et al. (1973) اندازه‌گیری شد. در این روش ۰/۱ گرم بافت برگ پرچم پودر شده و با ۱۰ میلی‌لیتر سولفوسالسیک اسید ۳ درصد مخلوط و حدود ۱۰۰ ثانیه توسط ورتکس همگن شد و به مدت ۱۰ دقیقه در داخل یخ قرار گرفت. هر فالكون ۱۵ میلی‌لیتری حاوی نمونه به مدت ۱۱ دقیقه با دور ۱۳ هزار دور در دقیقه سانتریفیوژ شد. از محلول روشن‌آور داخل فالكون‌ها حاصل ۲ میلی‌لیتر در یک فالكون ۱۵ میلی‌لیتری دیگر ریخته و ۲ میلی‌لیتر اسیدناین هیدرین ۰/۲ مولار و ۲ میلی‌لیتر اسید اسیتیک گلاسیپال به آن افزوده شد. سپس فالكون‌های مورد نظر به مدت یک ساعت در دمای ۱۰۰- ۹۶ درجه سانتی‌گراد در حمام آب قرار داده شدند. پس از این مدت، نمونه‌ها به سرعت در داخل ظرف یخ قرار گرفت و پس از

¹ Relative Water Content

برادفورد در یک لوله آزمایش کوچک مخلوط و سپس میزان جذب نور در طول موج 595 nm با استفاده از اسپکتروفتومتر (مدل Unico UV-2100) قرائت شد. برای هر نمونه سه تکرار در نظر گرفته شد و غلظت پروتئین میلی گرم بر گرم بافت تازه و با استفاده از منحنی استاندارد محاسبه شد.

الگوی بیان ژن پرولین (P5CS) و ژن گلايسين بتائين (BADH) در مرحله رویشی در برگ‌های کاملاً توسعه یافته بررسی شد. ژن 18S به‌عنوان ژن خانه‌دار (House keeping) و ژن‌های P5CS و BADH به‌عنوان ژن‌های نامزد در تحمل به خشکی با مرور منابع انتخاب، توالی آن‌ها با جستجو در بانک‌های اطلاعاتی یافت شد. طراحی جفت آغازگرهای اختصاصی با بهره‌گیری از برنامه Pick (Primer3web version 4.0.0) primers صورت گرفت. RNA کل برگ‌ها (در تیمارهای مختلف) با استفاده از محلول تریزول (شرکت Pishgam) استخراج شد. سپس برای اطمینان از حذف کامل DNA ژنومی، نمونه‌های RNA با آنزیم (RQ1 RNase-free DNase, Promega) تیمار شد و به‌عنوان الگوی واکنش PCR قرار گرفت. پس از همسان‌سازی غلظت RNA‌های مختلف، واکنش سنتز cDNA با استفاده از کیت (Geneall) iScript cDNA synthesis kit انجام گرفت. الگوی بیان ژن‌ها با استفاده از Real time-PCR (Eva Green Master) بررسی شد. میزان بیان ژن با روش $\Delta\Delta CT$ efficiency adjusted (Yuan et al. 2006) محاسبه شد. در این روش، میزان بیان ژن‌های پرولین و گلايسين بتائين براساس ژن 18S (ژن خانه‌دار) با بیان ثابت نرمال شده، سپس میزان تغییرات بیان ژن در همه تیمارها نسبت به شاهد با آبیاری کافی سنجیده شد. آنالیز واریانس داده‌ها و مقایسه میانگین صفات مختلف و نتایج به‌دست آمده از Real time-PCR با آزمون توکی در سطح خطای ۰/۰۵ و ۰/۰۱ با استفاده از نرم‌افزار SAS انجام شد.

نتایج

نتایج حاصل از تجزیه واریانس پروتئین‌های محلول کل نشان می‌دهد که منبع تغییر تنش خشکی و رقم و همچنین اثر متقابل تنش خشکی در رقم در سطح احتمال ۰/۰۱ و ۰/۰۵ تاثیر بسیار معنی‌داری داشتند (جدول ۲). مشخص شد ارقام مختلف در برابر

چند دقیقه سرد شدن نمونه به هر فالكون ۳ میلی‌لیتر تولوئن اضافه و ۱۵ تا ۲۰ ثانیه ورتکس شد. نمونه‌ها مدتی به حالت آرام رها شد تا محلول نهایی دو فاز شود و پرولین وارد فاز تولوئن (فاز بالایی) شود. سپس از فاز روئی که رنگ ارغوانی داشت به میزان ۲۰ میکرولیتر برداشته و میزان پرولین با استفاده از دستگاه پلیت ریدر (Coastaruv-plate) در طول موج ۵۲۰ نانومتر اندازه‌گیری شد.

میزان گلايسين بتائين در برگ پرچم به روش (Grattan and Grieve 1992) اندازه‌گیری شد. در این روش ابتدا ۰/۱ گرم از مواد گیاهی خشک شده در هاون کاملاً پودر و با ۴ میلی‌لیتر آب دیونیزه به مدت ۴۸ ساعت در دمای ۲۵ درجه سانتی‌گراد به‌صورت مکانیکی تکان داده شدند. سپس نمونه‌های برگ‌گی از کاغذ صافی عبور داده شده و محلول حاصل در فریزر ۲۰- درجه سانتی‌گراد نگهداری شدند. برای اندازه‌گیری گلايسين بتائين نمونه‌های منجمد ذوب شده و با اسید سولفوریک (H_2SO_4) دو نرمال به نسبت ۱:۱ در تیوپ‌های ۱/۵ میلی‌لیتری رقیق شدند و سپس تیوپ‌ها در آب یخ به مدت ۶۰ دقیقه سرد شدند. سپس مقدار ۰/۲ میلی‌لیتر یدید پتاسیم- ید^۱ ($KI-I_2$) سرد به محلول‌ها اضافه شد و محلول به آرامی ورتکس داده شد. بعد از این مراحل نمونه‌ها در دمای ۴-۰ درجه سانتی‌گراد به مدت ۲۰ ساعت قرار داده شدند. بعد از سپری شدن این مدت، نمونه‌ها با دور ۱۰۰۰۰ و به مدت ۱۵ دقیقه در دمای صفر درجه سانتی‌گراد سانتیفریوژ شدند. سپس با دقت سوپر نانت‌ها را دور ریخته و کریستال‌های پریداید در ۹ میلی‌لیتر دی‌کلرواتان^۲ حل شدند. بعد از ۲/۵-۲ ساعت، که محلول‌ها را در دمای اتاق به حال خود رها کرده، میزان جذب در طول موج ۳۶۵ نانومتر توسط اسپکتروفتومتر اندازه‌گیری شد و از طریق معادله رگرسیون اعداد قرائت شده به غلظت گلايسين بتائين در نمونه‌ها تبدیل شدند.

ارزیابی میزان کل پروتئین قابل‌حل در عصاره شامل تهیه منحنی استاندارد با استفاده از پروتئین استاندارد (آلبومین سرم گاوی) مطابق با روش (Bradford 1976) انجام گرفت، به این منظور مقدار ۲۰ میکرولیتر عصاره هر نمونه با سه میلی‌لیتر معرف

¹ Potassium iodide-iodine (Potassium triiodide)

² 1,2-Dichloroethane

بیش‌ترین مقدار پرولین در رقم اسپلتوئیدس مشاهده شد که مقدار پرولین از ۰/۰۶۴۷ میلی‌گرم بر گرم در شاهد به ۰/۲۵۴۹ میلی‌گرم در گرم تحت تنش ۵۰ درصد ظرفیت زراعی افزایش یافت. کم‌ترین میزان پرولین در این سطح تنش به گونه تائوشی اختصاص داشت که میزان پرولین آن به ترتیب ۰/۰۵۷۹ میلی‌گرم بر گرم در تنش ۵۰ درصد ظرفیت زراعی رسید. در تنش ۳۰ درصد ظرفیت زراعی بیش‌ترین میزان پرولین متعلق به اسپلتوئیدس با مقدار ۰/۵۲۳۰ میلی‌گرم بر گرم و کم‌ترین میزان مربوط به گونه تائوشی ۰/۱۰۶۳ میلی‌گرم بر گرم اختصاص داشت (شکل ۱).

نتایج حاصل از تجزیه واریانس گلایسین بتائین نشان می‌دهد که منبع تغییر تنش خشکی و گونه و همچنین اثر متقابل تنش خشکی در گونه در سطح احتمال ۰/۰۱ و ۰/۰۵ تاثیر بسیار معنی‌داری داشتند (جدول ۲). مقایسه میانگین میزان گلایسین بتائین نشان داد که مقدار گلایسین در اثر تنش خشکی به‌طور معنی‌داری از ۲۵/۳۵۳۱ میلی‌گرم برگرم در شرایط نرمال به ۳۸/۸۳۴۰ میلی‌گرم برگرم در شرایط تنش افزایش یافت. میزان گلایسین بتائین در گیاهان تحت تنش خشکی برای افزایش مقاومت گیاه در برابر شرایط تنش را افزایش می‌یابد. از نظر میزان گلایسین بتائین گونه شبرنگ بالاترین مقدار (۳۲/۵۹۷۸) که تفاوت معنی‌داری با گونه اسپلتوئیدس با کم‌ترین مقدار ۲۵/۴۷۰۸ داشت. براساس اثر متقابل تنش در گونه نشان داد که در شرایط تنش ۵۰ درصد ظرفیت زراعی بیش‌ترین مقدار مربوط به گونه شبرنگ با مقدار ۳۲/۴۷۷ و کم‌ترین مقدار مربوط به گونه اسپلتوئیدس ۲۶/۰۰۰ و در شرایط تنش ۳۰ درصد ظرفیت زراعی بیش‌ترین میزان گلایسین بتائین را گونه سیستان با مقدار ۴۵/۲۴۷ و گونه تائوشی در این تنش کم‌ترین میزان گلایسین بتائین ۳۳/۲۲۷ را دارا بود (شکل ۱).

تنش خشکی رفتارهای متفاوتی نشان دادند. معنی‌دار شدن اثر متقابل تنش و رقم و نتایج مقایسه میانگین توکی نشان داد عمل تنش‌های گوناگون در رقم‌های مختلف یکسان نبوده و بر حسب نوع و یا سطح تنش و رقم مورد نظر تغییرات متنوعی رخ داده است. مقایسه میانگین میزان پروتئین محلول کل نشان داد که مقدار پروتئین در اثر تنش خشکی به‌طور معنی‌داری از ۴/۳۸۵۰ میلی‌گرم برگرم در شرایط نرمال به ۸/۷۶۸۶ میلی‌گرم برگرم در شرایط تنش افزایش یافت. از نظر میزان پروتئین محلول کل رقم اورارتو بالاترین مقدار را (۱۱/۲۷۹۳) که تفاوت معنی‌داری با رقم سیستان با کم‌ترین مقدار ۳/۱۶۷۸ داشت. براساس اثر متقابل تنش در رقم نشان داد که در شرایط تنش ۵۰ درصد بیش‌ترین میزان پروتئین را رقم اورارتو با مقدار ۱۲/۷۲۶۵ و رقم سیستان در این تنش کم‌ترین میزان پروتئین کل را ۳/۳۹۴۳ دارا بود و هم چنین در شرایط تنش ۳۰ درصد ظرفیت زراعی بیش‌ترین مقدار را رقم اورارتو با مقدار ۱۳/۳۵۳ و کم‌ترین مقدار را رقم سیستان با مقدار ۳/۸۴۸۰ را به خود اختصاص داد (شکل ۱).

در بین ارقام بیش‌ترین میزان صفت اندازه‌گیری شده مربوط به رقم اسپلتوئیدس با مقدار (۰/۲۷۶۴) که تفاوت معنی‌داری با رقم تائوشی با کم‌ترین مقدار (۰/۰۷۸۱) داشت. با افزایش شدت تنش میزان پرولین افزایش یافت به‌طوری که میزان پرولین از ۰/۰۶۸۱ میلی‌گرم بر گرم در شاهد (۹۰ درصد ظرفیت زراعی) به ۰/۳۰۵۶ میلی‌گرم برگرم در ۳۰ درصد تنش خشکی رسید که نشان دهنده‌ی افزایش میزان پرولین با اعمال تنش خشکی نسبت به شاهد می‌باشد. برهمکنش بین رقم و شدت تنش بر روی مقدار پرولین در سطح ۰/۰۱ و ۰/۰۵ بسیار معنی‌دار بود (جدول ۲). مقایسه میانگین‌ها نشان داد که با افزایش شدت تنش میزان پرولین در ارقام مختلف افزایش یافت. در تنش ۵۰ درصد ظرفیت زراعی

جدول ۱- فهرست و توالی جفت آغازگرهای مورد استفاده در بررسی الگوی بیان ژن‌ها

Primer	Primer sequence	Tm (c)	GC (%)
Forward BADH	5- TAGCGAATGCTAAAAGTGAAGGTGTG-3	61.8	41.7
Reverse BADH	5-TTCGGTAGAAAATTCCTTCACACA-3	60.1	37.5
Forward P5CS	5-CATGAGGCTGGGTATGAGAGTG- 3	64	54.5
Reverse P5CS	5-ATAGAACACCCAAAGGGCAAGA-3	60.3	45.5
Forward 18S	5-GTGACGGGTGACGGAGAATT-3	60.5	55
Reverse 18S	5-GACACTAATGCGCCCGGTAT-3	60.5	55

خشکی در گونه در سطح احتمال ۰/۰۱ و ۰/۰۵ تاثیر بسیار معنی‌داری داشتند (جدول ۲). به طوری که در این آزمایش بیش‌ترین مقدار محتوای آب نسبی مربوط به شرایط شاهد یا ۹۰ درصد ظرفیت زراعی به میزان ۸۸/۰۲۴ درصد و کم‌ترین مقدار آن مربوط به سطح تنش ۳۰ درصد به میزان ۵۷/۸۸ درصد بود. نتایج حاصل از مقایسات میانگین انجام شده برای گونه‌ها نشان داد که بیش‌ترین میانگین مقدار محتوای آب نسبی مربوط به گونه شبرنگ با میانگین (۷۲/۹۴۸ درصد) و کم‌ترین مقدار آن مربوط به گونه بهرنگ (۶۹/۱۶۸ درصد) می‌باشد. در سطح تنش ۵۰ درصد بیش‌ترین و کم‌ترین مقدار محتوای آب نسبی به ترتیب مربوط به گونه اورارتو (۶۲/۴۶۵ درصد) و بهرنگ (۵۷/۸۷۷ درصد) بود. همچنین در این آزمایش گونه شبرنگ در سطح تنش ۳۰ درصد ظرفیت زراعی در مقایسه با سایر ارقام به مقدار کمتری آب از دست داد و مقدار محتوای آب نسبی آن (۶۱/۲۰۸) بود. گونه اورارتو نیز با مقدار (۵۵/۸۸۷ درصد) کم‌ترین مقدار محتوای آب نسبی را به خود اختصاص داد (شکل ۱).

در مطالعه حاضر، تیمار تنش خشکی سبب تغییر در میزان بیان ژن *P5CS* شد. بیان ژن *P5CS* پس از قرارگیری در سطوح مختلف خشکی اختلاف معنی‌داری با تیمار کنترل در شرایط بدون تنش نشان داده است. نتایج حاصل از تجزیه واریانس حاکی از آن است که ارقام و سطوح تنش خشکی بر روی میزان بیان ژن *P5CS* در سطح احتمال ۰/۰۱ و ۰/۰۵ تفاوت بسیار معنی‌داری در شرایط تنش در مقایسه با کنترل نشان دادند. (جدول ۳).

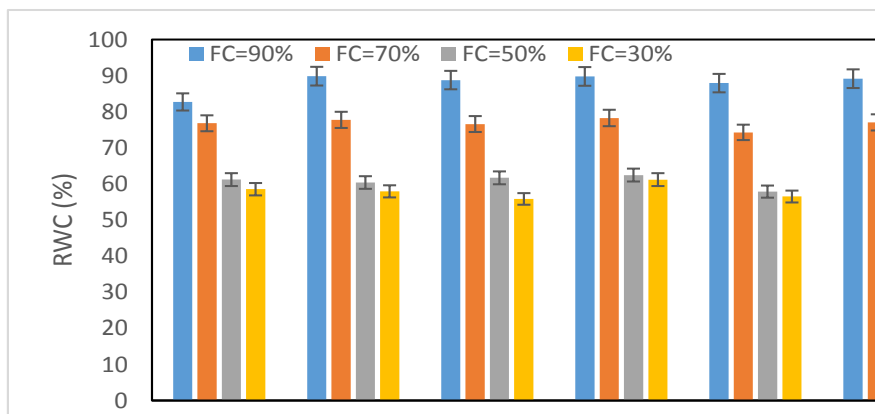
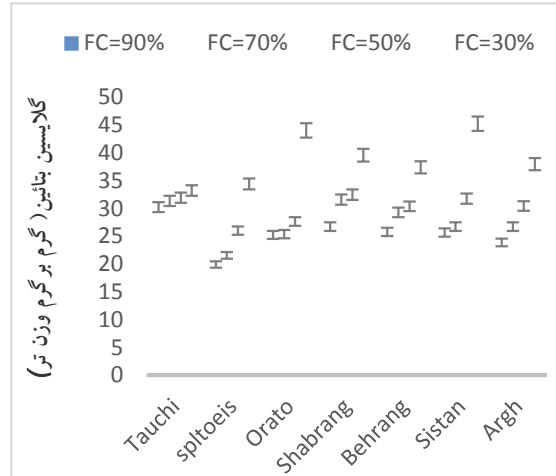
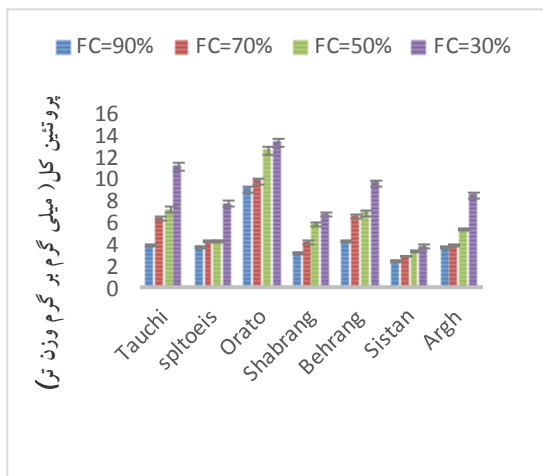
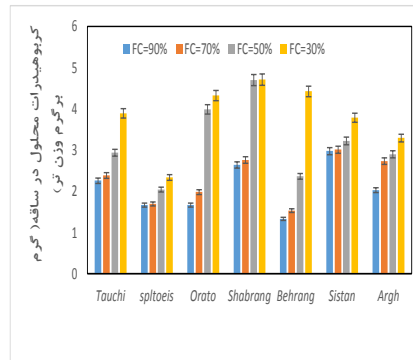
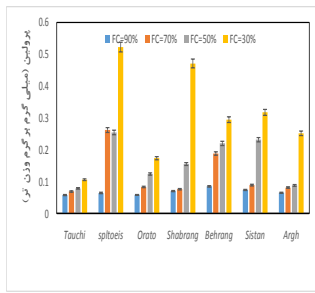
نتایج حاصل از تجزیه واریانس کربوهیدرات‌های محلول نشان داد که بین ارقام و سطوح تنش اختلاف بسیار معنی‌داری در سطح آماری ۰/۰۱ و ۰/۰۵ وجود داشت (جدول ۲). بیش‌ترین میزان صفت اندازه‌گیری شده را گونه شبرنگ با مقدار (۳/۷۰۳۲) که تفاوت معنی‌داری با گونه اسپلتوئیدس با کم‌ترین مقدار ۱/۹۳۶۱ داشت. با افزایش شدت تنش میزان کربوهیدرات محلول به طور بسیار معنی‌داری افزایش نشان می‌دهد به طوری که میزان کربوهیدرات از ۲/۰۸۲۰ میلی‌گرم بر گرم در شاهد به ۳/۸۲۵۷ میلی‌گرم بر گرم در تنش ۳۰ درصد ظرفیت زراعی رسید. نتایج حاصل از مقایسه میانگین برهمکنش سطح تنش و گونه نشان داد که در تیمار شاهد (۹۰ درصد ظرفیت زراعی) و سطوح تنش بین ارقام از نظر کربوهیدرات‌های کل تفاوت وجود داشت. در تنش ۵۰ درصد بیش‌ترین میزان کربوهیدرات در گونه شبرنگ با مقدار (۴/۷۰۰۰) و کم‌ترین میزان کربوهیدرات در گونه اسپلتوئیدس با مقدار ۲/۰۴۴۴ بود و در سطح شاهد گونه شبرنگ بیش‌ترین مقدار را به خود اختصاص داده است. با افزایش سطح تنش به ۳۰ درصد ظرفیت زراعی، گونه شبرنگ ۴/۷۱۱۱ همچنین بیش‌ترین میزان کربوهیدرات را به خود اختصاص داد و کم‌ترین میزان کربوهیدرات در گونه اسپلتوئیدس با مقدار ۲/۳۳۸۹ مشاهده شد. با افزایش میزان تنش میزان کربوهیدرات‌های محلول افزایش یافت و این افزایش در گونه‌های دوروم بیشتر از بقیه ارقام مشاهده شد، که با گونه وحشی تاوشی تفاوت معنی‌داری داشت (شکل ۱).

نتایج حاصل از تجزیه واریانس محتوای نسبی آب نشان می‌دهد که منبع تغییر تنش خشکی و گونه و همچنین اثر متقابل تنش

جدول ۲- نتایج تجزیه واریانس صفات فیزیولوژیکی مورد بررسی در ارقام گندم مورد مطالعه در شرایط تنش و بدون تنش رطوبتی

منابع تغییر	درجه آزادی	پروبلین	کربوهیدرات	پروتئین کل	گلاسیمن پبتائین	میزان رطوبت نسبی
گونه	۶	۰/۰۵۳۷ ^{**}	۳/۸۹۰۱۸ ^{**}	۷۹/۴۲۳۹ ^{**}	۷۰/۱۱۸ ^{**}	۲۴/۰۲۳ ^{**}
تنش خشکی	۳	۰/۲۱۷۲ ^{**}	۱۳/۶۰۴۷ ^{**}	۷۳/۳۱۹۲ ^{**}	۷۳۵/۰۳۱ ^{**}	۴۲۰۱/۴۱۷ ^{**}
اثر متقابل تنش و گونه	۱۸	۰/۰۱۵۳ ^{**}	۰/۸۶۰ ^{**}	۲/۶۴۶۸ ^{**}	۲۵/۰۹۶ ^{**}	۷/۰۶۵۸ ^{**}
خطا	۵۶	۰/۰۰۰۳	۰/۲۳۹۳	۱/۲۰۱	۴/۸۸۴	۲/۸۰
ضریب تغییرات	-	۱۰/۹۱	۱۷/۲۰	۱۷/۳۹	۷/۲۵	۲/۳۶
R-Square	-	۰/۹۸	۰/۸۵	۰/۹۱	۰/۹۱	۰/۹۸

ns و ** به ترتیب بیانگر عدم اختلاف معنی‌داری و اختلاف معنی‌داری در سطوح احتمال پنج و یک درصد می‌باشند.



شکل ۱- اثر شرایط آبیاری نرمال و تنش خشکی بر صفات فیزیولوژیک در ارقام دیپلوئید، تتراپلوئید و هگزاپلوئید. حروف یکسان در هر نمودار بیانگر عدم اختلاف معنی‌دار با استفاده از آزمون توکی در سطح ۵ درصد است.

اختصاص داد. با افزایش شدت تنش میزان بیان ژن افزایش یافت به طوری که میزان بیان ژن *P5CS* از مقدار ۱/۰۰ در شاهد (۹۰ درصد ظرفیت زراعی) به مقدار ۲۵/۴۳۸۱ در ۳۰ درصد تنش خشکی رسید که نشان‌دهنده‌ی افزایش میزان بیان ژن *P5CS* با

در بین ارقام بیش‌ترین میزان بیان ژن مربوط به گونه اسپلتوئیدس با مقدار (۲۲/۰۶۴۵) که تفاوت معنی‌داری با بقیه ارقام داشت و کمترین مقدار را گونه تائوشی^۱ با مقدار (۲/۹۶۴۷) به خود

^۱ *Triticum taushii*

ژن افزایش یافت به طوری که میزان بیان ژن *BADH* از مقدار ۱/۰۰ در شاهد (۹۰ درصد ظرفیت زراعی) به مقدار ۱۴/۲۹۹ در ۳۰ درصد تنش خشکی رسید که نشان دهنده‌ی افزایش میزان بیان ژن با اعمال تنش خشکی نسبت به شاهد می‌باشد هرچند در این تنش مقدار آن از تنش ۵۰ درصد کمتر شده بود. برهمکنش بین گونه و شدت تنش بر روی مقدار بیان ژن در سطح ۰/۰۱ و ۰/۰۵ بسیار معنی‌دار بود. در تنش ۵۰ درصد ظرفیت زراعی بیش‌ترین مقدار بیان ژن در گونه شبرنگ، مشاهده گردید که مقدار آن از ۱/۰۰ در شاهد به ۵۸/۳۵۰ برابر تحت تنش ۵۰ درصد ظرفیت زراعی افزایش یافت. کمترین میزان بیان ژن در این سطح تنش به گونه ارگ با مقدار ۰/۱۳۷ اختصاص داشت. در تنش ۳۰ درصد ظرفیت زراعی بیشترین میزان بیان ژن متعلق به بهرنگ (۵۷/۵۴۶) و کم‌ترین میزان مربوط به گونه ارگ با مقدار ۰/۱۵۶ اختصاص داشت (شکل ۲).

بحث

نتایج حاصل از تجزیه واریانس، برای بررسی پروتئین محلول کل، پرولین، گلیسین بتائین، کربوهیدرات محلول در ساقه، و محتوای نسبی آب برگ نشان داد که بین ارقام، تیمارها و اثر متقابل آن‌ها، از لحاظ مقدار هر پنج صفت یاد شده، تفاوت معنی‌داری در سطح احتمال خطای پنج درصد و یک درصد وجود دارد (جدول ۲).

اعمال تنش خشکی نسبت به شاهد می‌باشد. برهمکنش بین گونه و شدت تنش بر روی مقدار بیان ژن در سطح ۰/۰۱ و ۰/۰۵ بسیار معنی‌دار بود. مقایسه میانگین‌ها نشان داد که با افزایش شدت تنش میزان بیان ژن در ارقام مختلف افزایش یافت. در تنش ۵۰ درصد ظرفیت زراعی بیش‌ترین مقدار بیان ژن در گونه اسپلتوئیدس، مشاهده شد که مقدار آن از ۱/۰۰ در شاهد به ۳۴/۶۱۵ و گونه سیستان مقدار آن از ۱/۰۰ در شاهد به ۳۲/۹۸۵ تحت تنش ۵۰ درصد ظرفیت زراعی افزایش یافت. کمترین میزان بیان ژن در این سطح تنش به گونه تائوشی با مقدار ۱/۸۸۳ اختصاص داشت. در تنش ۳۰ درصد ظرفیت زراعی بیش‌ترین میزان بیان ژن متعلق به گونه‌های اسپلتوئیدس و شبرنگ به ترتیب با مقدارهای ۴۷/۶۱۴ و ۳۶/۰۰۵ و کم‌ترین میزان مربوط به گونه تائوشی با مقدار ۸/۹۵۹ اختصاص داشت (شکل ۲).

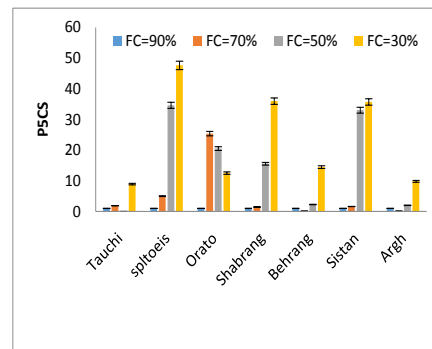
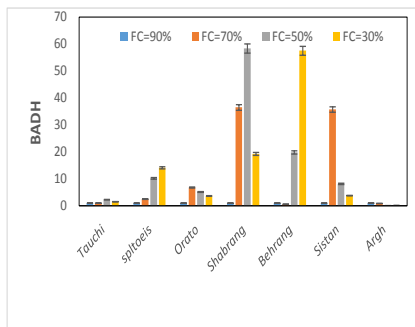
بیان ژن *BADH*

بیان *BADH* پس از قرارگیری در سطوح مختلف خشکی اختلاف معنی‌داری با تیمار کنترل در شرایط بدون تنش نشان داده است. با توجه به نتایج حاصل از تجزیه واریانس بین ارقام و سطوح تنش خشکی بر روی بیان *BADH* در سطح احتمال ۰/۰۱ و ۰/۰۵ تاثیر بسیار معنی‌داری وجود دارد (جدول ۳). در بین ارقام بیش‌ترین میزان بیان ژن مربوط به گونه شبرنگ با مقدار (۲۸/۷۷۶۶) که تفاوت معنی‌داری با بقیه ارقام داشت و کم‌ترین میزان متعلق به گونه ارگ با مقدار ۰/۵۴۸ بود. با افزایش شدت تنش میزان بیان

جدول ۳- نتایج تجزیه واریانس بیان ژن‌های *BADH* و *P5CS* در ارقام گندم مورد مطالعه در شرایط تنش و بدون تنش

<i>BADH</i>	<i>P5CS</i>	درجه آزادی	منابع تغییر
۱۳۱۱/۱۴۴ ^{**}	۷۱۴/۹۶۵ ^{**}	۶	رقم
۸۸۲/۵۱ ^{**}	۲۷۶۱/۴۳۳ ^{**}	۳	تنش خشکی
۶۶۰/۸۰۱ ^{**}	۲۱۲/۹۶۲ ^{**}	۱۸	اثر متقابل رقم و تنش
۰/۱۲	۰/۱۲	۵۶	خطا
۳/۳۱	۳/۱۲	-	ضریب تغییرات
۰/۹۹	۰/۹۹	-	R-Square

ns و ** به ترتیب بیانگر عدم اختلاف معنی‌داری و اختلاف معنی‌داری در سطوح احتمال پنج و یک درصد می‌باشند.



شکل ۲- بیان نسبی ژن پرولین (*P5CS*) و گلاسیسین بتائین (*BADH*) در برگ پرچمی در مرحله رویشی در هفت رقم گندم (دیپلوئید، تتراپلوئید، هگزاپلوئید) در شرایط آبیاری عادی و چهار سطح تنش خشکی ارائه شده است. حروف یکسان در هر نمودار بیانگر عدم اختلاف معنی‌دار با استفاده از آزمون توکی در سطح ۵ درصد است.

Carlos et al. (2009) و Tale Ahmad and Haddad (2011) انطباق دارد نتایج آن‌ها نشان داد که میزان گلاسیسین بتائین تحت تنش خشکی در گیاهان گندم و سیب‌زمینی از گیاهان شاهد بیشتر است.

در این تحقیق تنش خشکی باعث افزایش غلظت کربوهیدرات‌های برگ شد. احتمالاً انباشت این مواد به تحمل گیاهان تحت تنش کمک می‌کند و تغییر مقدار آن‌ها در پاسخ به تنش اسمزی تنوع قابل ملاحظه‌ی بافت‌ها و ژنوتیپ‌های مختلف گندم را نشان می‌دهد. چنین به نظر می‌رسد که افزایش درصد قندهای محلول در برگ و ساقه ارقام مورد مطالعه عمدتاً ناشی از تبدیل پلی ساکاریدها به قندهای ساده‌تر (که از نظر اسمزی فعال‌تر هستند) و با هدف تنظیم اسمزی در جهت سازگاری بیشتر با تنش خشکی بوده و لذا افزایش قندهای محلول را می‌توان با کاهش پلی ساکاریدهای برگ و ساقه مرتبط نمود. در شرایط کم آبی، مقدار پروتئین‌هایی با وزن مولکولی بالا و نشاسته کاهش می‌یابد. در نتیجه فعالیت آمیلاز محتوای قندهای محلول بیشتر می‌گردد و ژنوتیپ‌های که دارای مخازن بزرگ‌تری از قندهای محلول باشند از مقاومت بیشتری در مقابل خشکی برخوردار خواهند بود (Farshadfar et al. 2008) مطالعات نشان داده است که افزایش سنتز کربوهیدرات‌ها در گندم سبب افزایش مقاومت به خشکی می‌شود (Erdei et al. 2002). نتایج بررسی‌های این تحقیق با یافته‌های (Farooq et al. 2009) انطباق ندارد زیرا نتایج

نتایج این تحقیق حاکی از این است که افزایش غلظت پروتئین‌های برگ ممکن است نشان‌دهنده فعال شدن مکانیسم‌های تحمل باشد، به طوری که روند تغییرات غلظت پروتئین‌های برگ با الگوی مشابهی در تمام تیمارها اتفاق افتاده است و حداقل غلظت برای رقم سیستان و حداکثر آن برای گونه اوراتو بوده است. (Kim et al. 2005) و (Huang et al. 2012) نیز افزایش غلظت پروتئین‌های کل را عنوان نمودند.

Vendruscolo et al. (2007) حضور پرولین در گیاه را یک راهکار اصلی برای جلوگیری از اثرات زیان‌آور تنش کمبود آب دانسته و افزایش معنی‌دار میزان آن بعد از وقوع تنش کمبود آب در گندم را گزارش کردند. (Navabpour et al. 2015) نیز نشان دادند که ژنوتیپ‌های مختلف نسبت به کمبود آب آستانه تحمل متفاوتی دارند و این موضوع با نتایج این بررسی منطبق است. هم‌چنین این انطباق در مطالعه متابولیسم پرولین در گندم به کمک ایجاد تنش‌های اسمزی که (Lei et al. 2007) انجام دادند نیز اثبات شده است.

گلاسیسین بتائین نیز از ترکیبات آلی است که اثرات محافظت‌کنندگی اسمزی نیز در سلول دارند. میزان آن در گیاهان تحت تنش خشکی برای افزایش مقاومت گیاه در برابر شرایط تنش‌زا افزایش می‌یابد، گلاسیسین بتائین در بسیاری از گیاهان زراعی از جمله اسفناج، جو، گندم و سورگوم در واکنش به تنش‌ها افزایش می‌یابد که با نتایج این آزمایش مطابقت دارند (Yang et al. 2003). هم‌چنین نتایج این آزمایش با بررسی‌های

گندم مطابقت دارد. با توجه به نتایج به‌دست آمده تمامی ارقام از انباشت پرولین به‌عنوان یک واکنش حفاظتی در برابر تشدید تنش خشکی استفاده کردند ولی سرعت واکنش و تجمع پرولین در هر رقم متفاوت و تعیین‌کننده سطح تحمل به خشکی آن رقم بود. در مطالعه حاضر، تیمار تنش خشکی سبب تغییر در میزان بیان ژن *BADH* شد. بیان *BADH* پس از قرارگیری در سطوح مختلف خشکی اختلاف معنی‌داری با تیمار کنترل در شرایط بدون تنش نشان داده است. با افزایش شدت تنش میزان بیان ژن گلاسیسین‌بتائین افزایش یافت. مطالعات نشان می‌دهد که تجمع گلاسیسین‌بتائین و فعالیت آنزیم *BADH* تحت شرایط تنش خشکی افزایش می‌یابد که با آزمایش انجام شده مطابقت دارد (He et al. 2011). داده‌های فیزیولوژیک و بیان ژن صفت بتائین در سطوح مختلفی کنترل می‌شود و احتمالاً تغییرات پس از رونویسی و پس از ترجمه در تنظیم فعالیت بیان ژن گلاسیسین بتائین نقش مهمی دارد، پیش از این (Guerra et al. 2015) به نقش مهم تغییرات پس از رونویسی و پس از ترجمه در تنش‌های خشکی و گرما اشاره کرده‌اند.

بر اساس این پژوهش می‌توان اظهار داشت که محتوای پرولین و گلاسیسین بتائین و بیان ژن‌های کلیدی درگیر در بیوسنتز پرولین و گلاسیسین بتائین در شرایط تنش نسبت به شرایط کنترل تغییرات قابل توجهی را نشان دادند. تنش خشکی سبب القاء بیان ژن (*P5CS*) و افزایش سطح پرولین در همه ارقام و ژن گلاسیسین بتائین (*BADH*) در برخی ارقام شد. بنابراین، می‌توان از صفت تنظیم اسمزی و میزان بیان دو ژن *BADH* و *P5CS* تحت شرایط تنش به‌عنوان یک شاخص در برنامه‌های اصلاحی جهت انتخاب ارقام متحمل به خشکی استفاده شود و از این نتایج در اصلاح مولکولی گیاه گندم بهره بسیار برد.

وی نشان می‌دهد میزان سنتز ساکارز کاهش یافته و توزیع آن نیز دچار اختلال شده است.

تنظیم اسمزی یکی از مؤلفه‌های تحمل به خشکی است که ارتباط زیادی با میزان آب نسبی برگ دارد (Schonfeld et al. 1988). Blum et al. (1981) اظهار داشتند ژنوتیپ‌های که بدون بستن روزنه‌های خود توانایی حفظ آب بیشتری دارند، برای مناطق خشک مناسب‌ترند. در کل تنش خشکی باعث کاهش محتوای آب نسبی برگ‌ها می‌شود (Molnar et al. 2002). نتایج حاصل از این بررسی نیز کاهش محتوای آب نسبی برگ‌ها نشان می‌دهد این نتایج با بررسی‌های (Mantte et al. 1988) و (Silva et al. 2007) هم‌چنین (Graca et al. 2010) انطباق داشت. آن‌ها نیز نشان دادند که با افزایش تنش رطوبتی، *RWC* برگ گندم کاهش پیدا می‌کند که علت کاهش آن، کاهش پتانسیل آب برگ، کاهش جذب آب از ریشه‌ها در شرایط خشکی است (Siddique et al. 2000).

هنگامی که گیاهان در معرض تنش خشکی قرار می‌گیرند، با تغییر در الگوی بیان ژن‌های خود، تلاش می‌کنند با شرایط محیطی جدید سازگاری پیدا کنند (Ozturk et al. 2002). بررسی بیان ژنی در این مطالعه اطلاعات مفیدی را در خصوص درک چگونگی پاسخ ژن‌های پرولین و گلاسیسین بتائین در گیاه گندم به تنش خشکی در مرحله رویشی ارائه می‌نماید و این اطلاعات به نوبه خود می‌تواند در توضیح مکانیسم سازگاری ژنوتیپ‌های متحمل در شرایط تنش خشکی حایز اهمیت باشد. نتایج حاصل از بررسی بیان ژن پرولین (*P5CS*) و ژن گلاسیسین بتائین (*BADH*) در برگ هفت ژنوتیپ گندم نشان داد که این ژن‌ها تحت شرایط تنش نیز در مقایسه با شرایط شاهد، افزایش بسیار معنی‌داری نشان دادند (شکل ۲). تنش خشکی سبب القاء بیان ژن *P5CS* و افزایش سطح پرولین در همه ارقام شد. داده‌های به‌دست آمده از سطح آنزیم پرولین منطبق بر داده‌های حاصل از بیان ژن بود که داده‌های مولکولی داده‌های فیزیولوژیک را تأیید می‌کنند. بررسی‌های انجام شده با نتایج (Vendruscolo et al. 2007) در گیاه

منابع

Akram H M, Ali A, Sattar A, Rehman H SU and Bibi A (2013) Impact of water deficit stress on various physiological and agronomic traits of three Basmati rice

(*Oryza sativa* L.) cultivars. Journal of Animal and Plant Sciences 23: 1415-1423.

Amini S, Ghojdi C and Yamchi A (2015) Proline accumulation and osmotic stress: an overview of *P5CS*

- gene in plants. *Journal of Plant Molecular Breeding* 3: 44-55.
- Ashraf M, Harris J C (2004) Potential biochemical indicators of salinity tolerance in plants. *Plant Science* 166: 3-16.
- Bai L, and Sui F (2006) Effect of soil drought stress on leaf of maize. *Pedosphere* 16: 326-332.
- Bates L S, Waldron R P and Teare I. D. (1973) Rapid determination of free prolin for water stress studies. *Plant Soil* 39: 205-217.
- Blum A (1998) Improving wheat grain filling under stress by stem reserve mobilization. *Euphytica* 100: 77-83.
- Bradford M M (1976) A rapid and sensitive method for the quantitation of microgram quantities of protein utilizing the principle of dye binding. *Analytical Biochemistry* 72: 248-254.
- Carlos A C C, Adriano L P, Leandro B L, Rogerio P S, Giuseppina P P L (2009) Effects of silicon and drought stress on tuber yield and leaf biochemical characteristics in potato. *Crop Science* 49: 949-954.
- Delauney A, Hu C, Kishor P, Verma D (1993) Cloning of ornithine delta-aminotransferase cDNA from *Vigna aconitifolia* by trans-complementation in *Escherichia coli* and regulation of proline biosynthesis. *Journal of Biological Chemistry* 268:18673-18678.
- Drossopoulos J B, Karamanos A J and Niavis C A (1985) Changes in free amino compounds during the development of two wheat cultivars subjected to different degrees of water stress. *Annals of Botany* 54: 291-305.
- Erdei L, Tari I, Csiszár J, pécsváradí A, Horváth F, Szabó M, Ördög M, Cseuz L, Zhiponova M, Szilák L and Györgyey J (2002) Osmotic stress responses of wheat species and cultivars differing in drought tolerance: some interesting genes (advices for gene hunting) *Acta biologica Szegediensis* 46: 63-65.
- Farooq M, Wahid A, Kobayashi N, Fujita D and Basra S M. A (2009) Plant drought stress: effects, mechanisms and management. *Agron for Sustainable Development* 29: 185-212.
- Farshadfar E, Ghasempour H, Vaezi H (2008) Molecular aspects of drought tolerance in bread wheat (*T. aestivum*) *Pakistan Journal of Biological Sciences* 11: 118-122.
- Ghorbanli M, Gafarabad M, Amirkian T and Allahverdi Mamaghani B (2013) Investigation of proline, total protein, chlorophyll, ascorbate and dehydro ascorbate changes under drought stress in Akria and Mobil tomato cultivars. *Iranian Journal of Plant Physiology* 3: 651-658.
- Graça J P, Rodrigues F A, Farias J R B, Oliveira M C N, Hoffmann-Campo CB, Zingaretti SM (2010) Physiological parameters in sugarcane cultivars submitted to water stress. *Brazilian Journal of Plant Physiology* 22:1677-0420.
- Grattan S R and Grieve C M (1992) Mineral element acquisition and growth response of plants grown in saline environments. *Agriculture Ecological Environment* 38: 275-300.
- Greenway H, and Munns R (1980) Mecanisms of salt tolerance in non-halophytes. *Plant Physiology* 31:149-190.
- Guerra D, Crosatti C, Khoshro H H, Mastrangelo A M, Mica E and Mazzucotelli E (2015) Post-transcriptional and post-translational regulations of drought and heat response in plants: a spider's web of mechanisms. *Front. Plant Science* 46- 57.
- Guzma'n C and Alvarez J B (2012) Molecular characterization of a novel waxy allele (Wx -Aula) from *Triticum urartu* Thum. exGandil. *Genetics Resources and Crop Evolution* 59: 971-979.
- He C, Zhang W, Gao Q, Yang A, Hu X, Zhang J (2011) Enhancement of drought resistance and biomass by increasing the amount of glycine betaine in wheat seedlings. *Euphytica* 177:151-167.
- Huang G T, Ma S L, Bai L P, Zhang L, Ma H, Jia P, Liu J, Zhong M and Guo ZF (2012) Signal transduction during cold, salt, and drought stresses in plants. *Molecular Biology Reports* 39:969-987.
- Huang S, Sirikhachornkit A, Su X J, Faris J and Gill B (2002) Genes encoding plastid acetylCoaA carboxylase and 3-phosphoglycerate kinase of the *Triticum/Aegilops* complex and evolutionary history of polyploid wheat. *Proceedings of the National Academy of Sciences* 99: 8133-8138.
- Hussain TM, Chandrasekhar T, Hazara M, Sultan Z, Saleh B K and Gopal G R (2008) Recent advances in salt stress biology-a review. *Biotechnology and Molecular Biology Review* 3: 8-13.
- Kafi M, Styuart V C, Borland A M (2003) Carbohydrate and proline content in leaves, roots and apexes of salt-tolerant and salt-sensitive wheats *Plant Physiology* 50: 174-182.
- Kim SY, Lim JH, Parkm MR, Kimm YJ, Park TI, Seo YW, Choi KG, Yun SJ (2005) En-hanced antioxidant enzymes are associated with reduced hydrogen peroxide in barley roots under saline stress. *Journal of Biochemistry and Molecular Biology* 38: 218-224.
- Lei Y, Yin C, Ren J, and Li C (2007) Effect of osmotic stress and sodium nitroprusside pretreatment on proline metabolism of wheat seedlings *Biologia Plantarum* 51: 386-390.
- Liang X, Zhang L, Natarajan S K and Becker D F (2013) Proline Mechanisms of Stress Survival. *Antioxid Redox Signal* 19: 998-1011.
- Lum MS, Hanafi MM, Rafii YM and Akmar ASN (2014) Effect of Drought Stress on Growth, Proline and Antioxidant Enzyme Activities of Upland Rice. *Journal of Animal & Plant Sciences* 24: 1487-1493.
- Mantte AS, Richard CJ, Carre B, Morhinweg W (1988) Water relation in winter wheat as drought resistance indicators. *Crop Science* 28: 256-531.
- Marian CO, Krebs SL and Arora R (2003) Dehydrin variability among rhododendron species: A 25- kDa dehydrin is conserved and associated with cold acclimation across diverse species. *New Phytologist* 161:773-780.
- Mirzaee M, Moieni A and Ghanati F (2013) Effects of drought stress on the lipid peroxidation and antioxidant enzyme activities in two canola (*Brassica napus* L.) cultivar. *Journal of Agricultural Science and Technology* 15: 593-602.

- Molnar S, Gaspar L, Stehi L, Dulai S, Sarvari E, Kiraly I, Galiba G, Molnar-Long M (2002) The effects of drought stress on the photosynthetic processes of wheat and of *Aegilops biuncialis* genotypes originating from various habitats. *Acta Biologica Szegediensis* 46: 115-116.
- Murata N, Mohanty P S, Hayashi H and Papageorgiou G C (1992) Glycinebetaine stabilizes the association of extrinsic proteins with the photosynthetic oxygen evolving complex. *FEBS Letters*. 296: 187- 189.
- Navabpour S, Ramazanpour S S, Soltanloo H, Vakili Bastam S (2015) "Drought stress changed expression profile of some genes in tillering and pollination stages of adult wheat" *Applied Science Reports* 9: 100-109.
- Orcutt D M, and Nilsen ET (2000) *The Physiology of Plants Under Stress, Soil and Biotic Factors*. John Wiley New York.
- Ozturk ZN, Talame V, Deyholos M, Michalowski B, Galbraith DW, Gozukirmizi N, Tuberosa R and Bohnert HJ (2002) Monitoring large-scale changes in transcript abundance in drought- and saltstressed barley. *Plant Molecular Biology* 48: 551-573.
- Rampino P, Pataleo S, Gerardi C, Mita J and Perrotta C (2006) Drought stress response in wheat: physiological and molecular analysis of resistant and sensitive genotypes. *Plant Cell and Environment* 29: 2143-2152.
- Ritchie S W, and Nguyen HT (1990) Leaf water content and gas exchange parameters of two wheat genotypes differing in drought resistance. *Crop Science* 30: 105-111.
- Sanchez FJ, Ander EFD, Tenorio JL and Ayerbe L (2004) Growth of epicotyls turgor maintenance and osmotic adjustment in pea plant (*Pisum sativum* L.) subjected to water stress. *Field Crops Research* 86: 81-90.
- Schonfeld MA, Johnson RC, Carver BF, Mornhinweg DW (1988) Water relations in winter wheat as drought resistance indicators. *Crop Science* 28: 526-531.
- Sheligi HQ (1986) Die verwertung orgngischer souren durch chlorella lincht. *Planta Journal* 47-51.
- Showler AT and Castro BA (2010) Influence of drought stress on Mexican rice borer (*Lepidoptera: Crambidae*) oviposition preference in sugarcane. *Crop Protection* 28: 722-727.
- Siddique MRB, Hamid A and Islam, MS (2000) Drought stress effects on water relation of wheat. *Botanical Bulletin Academia Sinica* 41: 35- 39.
- Silva MA, Jifon JL, Da Silva JAG, Sharma V (2007) Use of physiological parameters as fast tools to screen for drought tolerance in sugarcane. *Brazilian Journal of Plant Physiology* 19:193-201.
- Sishen L, Xianyun Wei JJ, Linzhi Li XZH, Chen H, Fan Y, Sun H, Zhao X, Yunfong Xu T, Jiang F, Wang H and Lihui L (2007) Aintervarietal genetic map and QTL analysis for yield traits in wheat. *Molecular Breeding* 20:167-178.
- Svensson J, Ismail A M, Palva E T, Close T J (2002) Dehydrins. In: K. B. Storey and J. M. storey (Eds.), *Sensing Signaling and Cell Adaptation*. Elsevier Science BV pp.155-171.
- Tale Ahmad S, and Haddad R (2011) Study of silicon effects on antioxidant enzyme activities and osmotic adjustment of wheat under drought stress. *Journal of Genetics and Plant Breeding* 47: 17-27.
- Vendruscolo ACG, Schuster I, Pileggi M, Scapim CA, Molinari HBC, Marur CJ and Vieira LGC (2007) Stress-induced synthesis of proline confers tolerance to water transgenic wheat. *Journal. Plant Physiology* 164:1367-1376.
- Vendruscolo ACG, Schuster I, Pileggi M, Scapim CA, Molinari HBC, Marur CJ and Vieira LGC (2007) Stress-induced synthesis of proline confers tolerance to water transgenic wheat. *Journal. Plant Physiology* 164:1367-1376.
- Yang WJ, Rich PJ, Axtell JD, Wood KV, Bonham CC and Ejeta G (2003) Genotypic variation for glycine betaine in sorghum. *Crop Science* 43: 162-169.
- Yang X and Lu C (2005) Photosynthesis is improved by exogenous glycinebetaine in salt- stressed maize plants. *Physiology Plant* 124: 343- 352.
- Yang Y, Liu Q, Han C, Qiao YZ, Yao XQ and Yin HJ (2007) Influence of water stress and low irradiance on morphological and physiological characteristics of *Picea asperata* seedlings. *Photosyntetica* 45: 613- 619.
- Yokoi S, Quintro FJ, Cubero B, Ruiz M T, Bressan R A, Hasegawa P M and Pardo JM (2002) Differential expression and function of *Arabidopsis thaliana* NHX Na^+/H^+ antiporter in salt stress response. *Plant Journal* 30:529- 539.
- Yuan J, Reed A, Chen F and Stewart CN (2006) Statistical analysis of real-time PCR data. *BMC Bioinformatics* 7:85-97.
- Zlatev Z, Lidon FC (2012) An overview on drought induced changes in plant growth, water relations and photosynthesis. *Emirates Journal of Food and Agriculture* 24: 57-72.